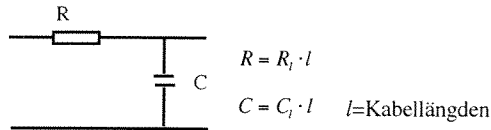


## Kabel i lågfrekventa området

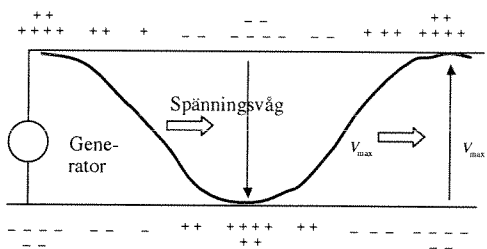
### Modell



Typiska värden koax:  $R_l = 0,01 \Omega/m$  och  $C_l = 100 pF/m$

"Korta" kablar  $Z_{kabel} = 1/j\omega C = 1/j\omega \cdot l \cdot C$

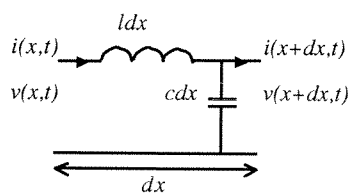
## Kabel i högfrekventa området



**Momentanbild** av spännings- och strömvåg på dubbelledare.

### Modell dubbelledare – hög frekvens

Definiera  $c [F/m]$  och  $l [H/m]$



**Spänningen** över induktanselementet

$$v(x+dx,t) - v(x,t) = -l dx \frac{di(x,t)}{dt} \quad (1)$$

Division med  $dx$  och gränsövergång,  $dx \rightarrow 0$ , ger

$$\frac{dv(x,t)}{dx} = -l \frac{di(x,t)}{dt}$$

**Strömskillnaden**

$$i(x+dx,t) - i(x,t) = -c dx \frac{dv(x,t)}{dt} \quad (2)$$

Division med  $dx$  och gränsövergång,  $dx \rightarrow 0$ , ger

$$\frac{di(x,t)}{dx} = -c \frac{dv(x,t)}{dt} \quad \text{men} \quad \frac{d^2}{dx dt} = \frac{d^2}{dx dt} \quad \text{ger}$$

## Diskreta nät/kretsar

Stationära och kvasistationära förlopp

$$\text{ledningslängden} \ll \lambda = \frac{c}{f}$$

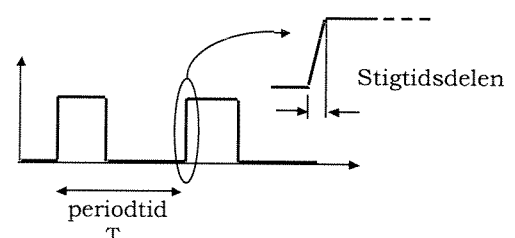
## Transmissionsledningar (högfrekvens)

### VÄGEGENSKAPER

#### A Högfrekvens – sinus, pulser

$$\text{ledningslängden} \geq \lambda = \frac{c}{f}$$

#### B Låga frekvenser – pulser med kort stig



$$\frac{d^2v}{dx^2} = lc \frac{d^2v}{dt^2} \quad \text{och} \quad \frac{d^2i}{dx^2} = lc \frac{d^2i}{dt^2} \quad (3a, b)$$

### vågekvationen (gäller allmän kurvform)

$$\frac{d^2s}{dx^2} = \frac{1}{c_k} \frac{d^2s}{dt^2}$$

$$\text{utbredningshast} \quad c_k = \frac{1}{\sqrt{l \cdot c}}$$

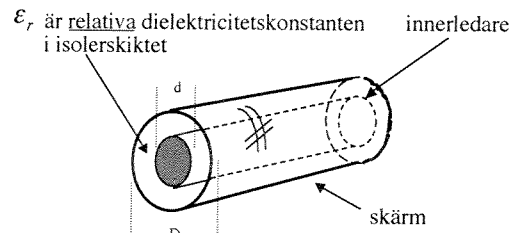
För koaxialkabel:

$$\text{induktansen per meter} \quad l = \frac{\mu_0}{2\pi} \ln \frac{D}{d}$$

$$\text{kapacitansen per meter} \quad c = \frac{2\pi \epsilon_r \epsilon_0}{\ln \frac{D}{d}}$$

$\mu_0$  = permeabiliteten

$\epsilon_0$  = dielektricitetskonstant



## 2

Hastigheten i kabeln

$$c_k = \frac{1}{\sqrt{l \cdot c}} = \frac{1}{\sqrt{\mu_0 \epsilon_0 \epsilon_r}} = \frac{c_0}{\sqrt{\epsilon_r}} \quad (5)$$

$c_0 = \frac{1}{\sqrt{\mu_0 \epsilon_0}}$  är ljushastigheten i vakuum.

För koax RG58C/U med **polyethylen**  $\epsilon_r = 2,28$

$$c_k \approx \frac{2}{3} c_0 = 200 \text{ Mm/s}$$

Ohms lag:  $Z_0 = \frac{v}{i}$

Med vågekvationen erhålls då

### Karakteristiska impedansen

$$Z_0 = \sqrt{\frac{l}{c}} \quad \text{enhet} \quad \sqrt{\frac{Vs/A}{As/V}} = \Omega$$

#  $Z_0$  blir rent **resistiv**

# Koaxialkabel belastar generator med  $Z_0$ .

Med uttryck på  $l$  och  $c$  erhålls

$$Z_0 = \sqrt{\frac{l}{c}} = \ln \frac{D}{d} \sqrt{\frac{\mu_0}{4\pi^2 \epsilon_r \epsilon_0}} \quad (6)$$

men  $\mu_0$  är  $4\pi \cdot 10^{-7} \text{ Vs/Am}$   
 $\epsilon_0 \approx 8,854 \cdot 10^{-12} \text{ As/Vm}$  ger

$$\text{Koaxkabel } Z_0 = \frac{60}{\sqrt{\epsilon_r}} \ln \frac{D}{d} \quad (7)$$

Kabeltyp	res.	pF/m	D/d	ck(% av $c_0$ )	kV max	dB/100m
RG 58 C/U	50	101	3,6	66,2 *	2,5	16
RG 213/U	50	101	3,6	66,2 *	5	6,5
S07232	50	82	3,6	81 **	2	5
RG214/U	50	100	3,6	66,2 *	1,5	5
RG 59 B/U	75	67	6,7	66,2 *	3,5	11
RG62A	93	44	4,7	84 **	1,5	6,2
RG22B/U	95	53	****	66,2 *	1	10

\* Polyethylen  $\epsilon_r = 2,28$    \*\* Polyethylenskum  $\epsilon_r = 1,5$

\*\*\* Luftisolerad/lågkapacitiv  $\epsilon_r = 1$

\*\*\*\* Balanserad/två innerledare

jmf.

Bästa **optiska fibern**: ca 0,02 dB/100 m.

Cylindriska **vägledare** för  $TE_{01}$ -moden (magnetiska vägen) och är för GHz-frekv. 0,5-1 dB/m

### Långa kablar/mycket höga frekvenser

# **fasvridning** och **pulsdistorsion**

$$\# \text{ karaktäristisk impedans } Z_0 = \sqrt{\frac{r + j\omega l}{g + j\omega c}}$$

$r$  = längsresistansen

$g$  = tvärkonduktansen i isolermaterialet

### Reflexion vid impedansändring

För alla slag av vågor gäller:

$$\frac{\text{reflekterad amplitud}}{\text{infallande amplitud}} = \frac{Z_L - Z_0}{Z_L + Z_0}$$

I det elektriska fallet gäller:

$$\Gamma = \frac{\hat{U}_{refl}}{\hat{U}_{inf}} = \frac{Z_L - Z_0}{Z_L + Z_0}$$

$Z_0$  är impedansen i kabeln

$Z_L$  (L=Load) är lasten

#### Olika fall

$Z_L \gg Z_0$  (**avbrott**) vilket ger  $\Gamma \approx +1$  och  $\hat{U}_{refl} \approx \hat{U}_{inf}$

$Z_L \ll Z_0$  (**kortslutning**) ger  $\Gamma \approx -1$  och  $\hat{U}_{refl} \approx -\hat{U}_{inf}$

$Z_L = Z_0$  (**anpassning**)  $\Gamma = 0$  och  $\hat{U}_{refl} = 0$  **ingen reflex**

$Z_L > Z_0$  ger  $\Gamma > 0$  positiv

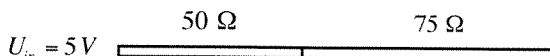
$Z_L < Z_0$  ger  $\Gamma < 0$  negativ

### 3

#### Energi (effekt) transporten

$$U^2/Z_0$$

Ex: Skarvade kablar



$$U_{refl} = \Gamma \cdot U_{in} = \frac{75\Omega - 50\Omega}{75\Omega + 50\Omega} \cdot U_{in} =$$

$$= 0,2 \cdot 5V = 1V$$

I skarvstället är  $U_{in} + U_{refl} = 5V + 1V = 6V$

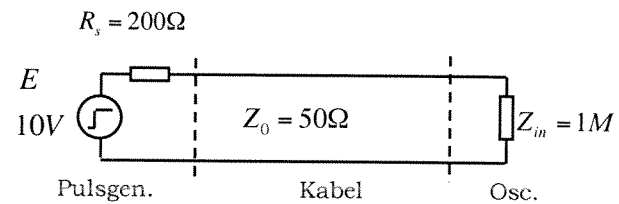
**Inkommande effekt**  $\frac{U_{in}^2}{Z_0} = \frac{(5V)^2}{50\Omega} = 0,5W$

**Reflekterad effekt**  $\frac{U_{refl}^2}{Z_0} = \frac{(1V)^2}{50\Omega} = 0,02W$

**Transmitterad effekt**  $\frac{U_{trans}^2}{Z_0} = \frac{(6V)^2}{75\Omega} = 0,48W$

**Effekten bevaras!**

#### Generator + kabel + oscilloskop



Utspanningen från gen. (**spänningsdelning**)

$$U_{ut} = \frac{50}{200+50} 10V = 2V$$

Vid osc. är  $\Gamma_{osc} = +1$  Osc. Sp. blir  $2V + 2V = 4V$

$U_{ut}$  når gen. och refl. med

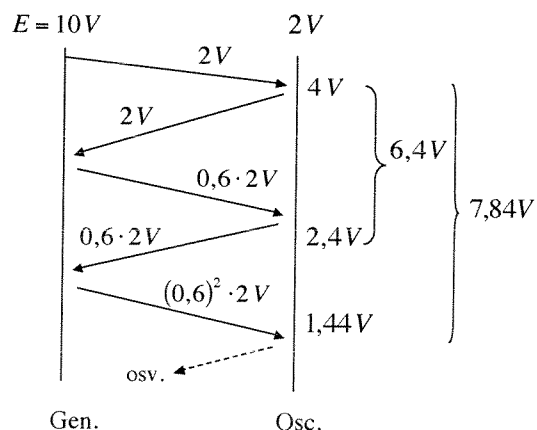
$$\Gamma_{gen} = \frac{U_{refl}}{U_{ut}} = \frac{200-50}{200+50} = 0,6 \quad U_{refl} = 0,6 \cdot 2V = 1,2V$$

$U_{refl}$  når osc. med ny reflexion med  $\Gamma_{osc} = +1$

Osc.-visningen stiger då från  $4V$  till  $(4 + 2 \cdot 1,2)V = 6,4V$

OSV  
OSV  
OSV

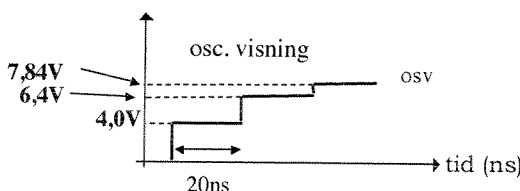
#### Reflexionsdiagram



$$\Gamma_{gen} = +0,6 \quad \Gamma_{osc} = +1$$

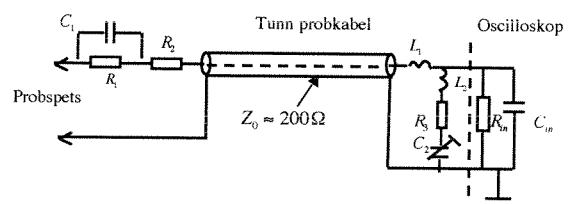
Tiden mellan de två pulsaternas ankomst till osc.

$$\Delta t = \frac{2L}{c_k} = \frac{2L}{2c_0/3} = \frac{3L}{c_0} = \frac{3 \cdot 2m}{3 \cdot 10^8 m/s} = 20ns$$



För att undvika reflexioner används prober

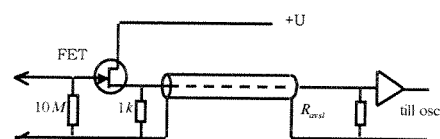
#### Passiv 10X-prob



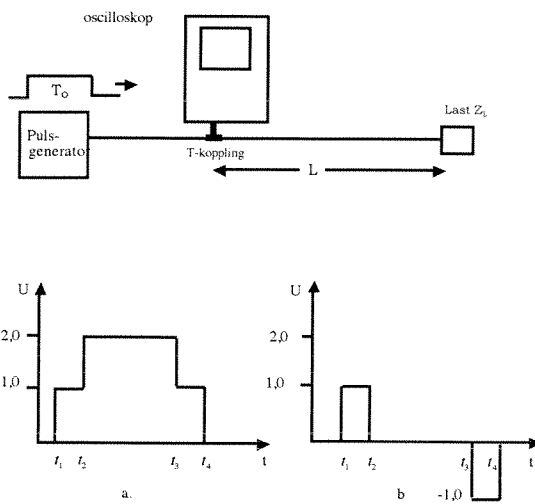
Proben har egenskaperna att

- \* inte belasta mätpunkten
- \* inte ge reflexioner

#### Aktiv 1X-prob

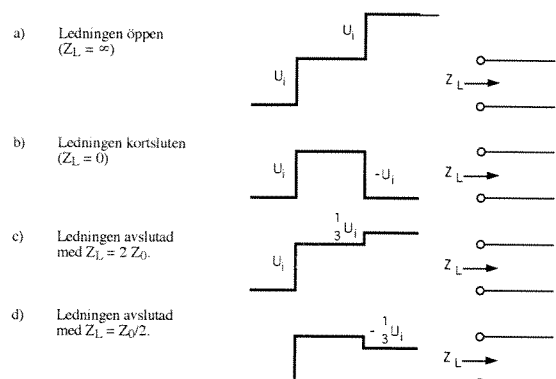


### Undersökning av kabelavslutning med TDR (Time Domain Reflectometry)



Oscilloskopbildens utseende vid koppling enligt fig. Med kabelavslutningen **öppen** ( $Z_L = \infty$ ) fig. a, och **kortsluten** ( $Z_L = 0$ ) fig b.

### Resistiva laster



### Icke resistiva avslutningar:

